

porastom snage snopa. Pri nekoj snazi, koja se naziva kritičnom, snop se prešire bez ikakvoj štene. Konačno, kada je snaga veća od kritične, snop se suzava, tj. dolazi do njegovog samofokusiranja u sredini. Pojavljen je uslovljen tine, što sa porastom jakine električnog polja E , raste i indeks prelamanja. Sredina zbog toga postaje optički gneča u oblasti prolaska snopa, a ovo dovodi do savijanja zraka ka osi snopa, odnosno njegovog skupljanja.

Optički harmonici. Pri rasejanju laserskog snopa u tečnostima i kristalima, osim svetlosti upadnog zraka frekvencije ω_0 , registruje se i rasejana svetlost umnožene frekvencije, tj. pojavljuju se zraci svetlosti frekvencije $2\omega_0$, $3\omega_0$ itd. Ove komponente rasejane svetlosti nazivaju se *optički harmonici*. Intenzitet optičkih harmonika može da bude veoma velik.

Višefotoniski fotoefekt. Elekt prestavlja višefotonisku ionizaciju atoma. Običan, jednofotoniski, fotoefekt registruje se na frekvencijama na kojima je energija fotona veća od energije ionizacije atoma. Kod snopova svetlosti velike snage višefotoniski fotoefekt može da se registruje i na frekvencijama koje su n puta manje od frekvencije potrebne za jednofotonsku ionizaciju (n je broj fotona koji učestvuje u elektromagnetskom aktu interakcije). Danas je ponuzano registrovana sednofotoniska ionizacija plamenih gasova.

VJ

IV. FIZIKA ATOMSKOG JEZGRA I NJENE PRIMENE

Jezgrat atomu (nukles) je otkrio Rutherford 1911. godine u čuvanom eksperimentu rasejanja α -čestica na tankim metalnim folijama. U najvećem broju prirodnih procesa na Zemljiji jezgro atoma se pojavlja kao stabilna, nedeljiva česticu. Ona utiče na strukturu atomskog omotača svojom ukupnom masom i svojim ukupnim (pozitivnim) nadelektrisanim, te se procesi vezani za transformaciju elektronskih omotača atoma i molekula (heminski procesi), koji na našoj planeti dominiraju, mogu razumeti i bez poznavanja unutrašnje strukture jezgra. Međutim, posle otkrića veštakete radioaktivnosti i sve masovnije primene radioizotopa i nuklearnih metoda u medicini i industriji, u eti nuklearne energetike, elementarno poznavanje strukture jezgra i osobina nuklearnog zračenja postaje sastavni deo opšte tehničke kulture. U narednim su poglavljima izložene canovne osobine jezgra i njegovog zračenja i ukazano je na najpoznatije primene dostignuta nuklearne fizike.

39. OSNOVNE KARAKTERISTIKE JEZGRA

39.1. DIMENZIJE JEZGRA

Osnovna informacija o dimenzijama nekog mikro-objekta dobija se analizom rasejanja različitih čestica na tom objektu. Podsetimo se da sve čestice pokazuju talasna svojstva i da je talasna dužina čestice obrnuto сразмерna njenoj energiji. Može se iz ovog zaključiti da se tačnost informacije o dimenzijama ispitivanog objekta povećava sa energijom snopa čestica.

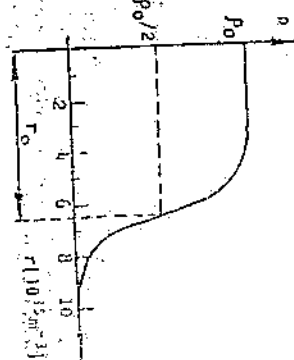
Rasejanjem brzih neutrona i brzih elektrona na različitim atomskim jezgrima ustanovljeno je da jezgru nema oštru ivicu, već se gustina jezgra ρ , postepeno smanjuje sa povećanjem rastojanja r od centra jezgra (sl. 39.1).

Poluprečnik r_0 je ono rastojanje od centra jezgra na kojem se ρ smanjuje za 50%. Tako se različitim projektillima dobijaju nešto različite vrednosti za r_0 , većina eksperimenata pokazuje da se poluprečnici jezgara menjaju prema zakonu:

$$r_0 = 1.2 \times 10^{-13} A^{1/3} \quad (39.1)$$

gde je A broj nukleona (sastavnih delova) u jezgru. Ova relacija pokazuje da se zapremina jezgra:

$$V = \frac{4}{3} \pi r_0^3 A$$



Sl. 39.1

linearno porečava sa brojem nukleona. S obzirom da je masa jezgra m takođe proporcionalna broju sastavnih delova A , može se videti da je gustoća (zapreminska masa) svih jezgara približno konstanta. Zapreminska masa supstance jezgra ima vrednost $\rho = 1,5 \times 10^8 \text{ kg/m}^3$, koja je očigledno neuporedivo veća od zapreminske mase makroskopskih tela na Zemlji. To što je dimenzija jezgra definisana poluprečnikom, ne znači da su sva jezgra sferičnog oblika. Sferni oblik u osnovnom, nepotpunom stanju imaju samo neistabilniji jezgri (tzw. magična jezgra), dok su ostala jezgra deformisana i obično imaju oblik rotacionog elipsoida.

39.2. SASTAVNI DELOVI JEZGRA

U različitim nuklearnim procesima, jezgra emijuju protone, neutrone i elektrone ili čestice sastavljene od njih. Kao što je već rečeno, elektroni su čestice negativnog elementarnog nadelektrisanja i izgraduju omotač atoma. Masa im je $m_e = 0,911 \times 10^{-30} \text{ kg} = 5,49 \times 10^{-4} \text{ u}$, čij je energetski ekivalent (an osnovnu relaciju $E = m_e c^2$) $0,511 \text{ MeV}$. Protoni i neutroni su čestice mnogo veće mase $m_p \approx 1 \text{ u}$, odnosno $m_n \approx m_p \approx 1870 \text{ m.e}$. Proton je jednostruko pozitivno (jedno pozitivno elementarno nadelektrisanje) nadelektrisana čestica, dok je neutron električno neutralan. Proton, elektron i neutron pripadaju grupi čestica koje se nazivaju fermioni, jer im je spin $s=1/2$.

Ispitajmo, napire, da li elektron kao slobodna čestica može da egzistira u jezgru. Da bi se kvantnomehanička čestica mogla lokalizovati u delu prostora, dimesija D , potrebno je da ima talasnu dužinu $\lambda=D$. Kako je poluprečnik jezgra (za $A \geq 100$) ista veličine $D \approx 5 \times 10^{-15} \text{ m}$, sledi da bi slobodan elektron u jezgru trebalo da ima energiju:

$$E = \frac{\hbar C}{\lambda} \approx \frac{\hbar C}{D} \approx 4 \times 10^{-11} \text{ J} \approx 200 \text{ MeV} \quad (39.2)$$

Ova je energija znatno veća od sopstvene energije (energije mirovanja) elektrona, što pokazuje da bi elektron u jezgru trebalo da se kreće brzinom bliskom svetlosti, sa kinetičkom energijom $E_k = E - m_e c^2 = 200 \text{ MeV}$. Kako se elektroni ovako visokih kinetičkih energija pri raspodu jezgra ne javljaju (jezgro emituje elektrone kinetičke energije $E_k \approx 1 \text{ MeV}$), može se zaključiti da elektron kao slobodna čestica ne može biti „lokализovan“ u jezgru. Prethodna analiza ne osporava mogućnost eksistencije slobodnih protona i neutrona u jezgru, jer je njihova energija mirovanja $m_n c^2 \approx 930 \text{ MeV}$, te izračunata donja granica energije čestice u jezgru uopšte ne ograničava vrednost njihove kinetičke energije.

Sva danas poznata svezanja o jezgru atomu su u skladu sa pretpostavkama da je ono sastavljeno od protona i neutrona. Ukupno (pozitivno) nadelektrisuje jezgra je znači zbir nadelektrisanja protona u jezgru. Broj protona u jezgru Z određuje položaj odgovarajućeg atoma u periodnom sistemu. Jezgra sa jednakim brojem protona Z nazivaju se zato izotopi. Protoni i neutroni se zajednički imenom nazivaju nukleoni, a ukupan broj nukleona A u jezgru određuje masu jezgra. Broj A se naziva masseni broj. Jezgra jednakih massenih brojeva A , a različitih brojeva protona Z i neutrona N , nazivaju se izoborna jezgra (izotomi). Kako se izoborna jezgra razlikuju po broju nadelektrisanih čestica, uporedjenjem njihove strukture dobijaju se podaci o ulozi Kujonove sile u jezgru.

U nuklearnoj fizici se jezgra opisuju hemijskim simbolom odgovarajućeg elementa i massenim broju A . Na primer, dati simbol ^{35}Cl , opisuje jezgro atoma bakra koji sadrži 25 nukleona. Kakvo je redni broj bakra $Z=29$, jezgro sadrži $N=A-Z=36$ neutrona. Elementi u prirodi mogu da imaju više stabilnih izotopa. Na primer, ugljenik ima dva stabilna izotopa ^{12}C i ^{13}C , čiji su izotopski prihodi u pritodnom ugleniku redom 99,9% i 1,1%. Prirodni elementi su simeće svih stabilnih izotopa i to je jedan od razloga zašto atomske mase nisu celobrojni umnošci mase atoma vodonika.

39.3. SPIN I MAGNETNI MOMENT JEZGRA

Slično atomu, spin jezgra \vec{I} je izvesna kombinacija orbitalnih \vec{l}_i i spinskih \vec{s}_i momenta količine kretanja njegovih sastavnih delova. Intenzitet vektora \vec{I} iznosi:

$$|\vec{I}| = \hbar \sqrt{I(I+1)} \quad (39.3)$$

moćiće projekcije iona vrednost $I_i = m_i h$, gde m ima ukupno $2I+1$ vrednosti, odnosno $-I_i, -I_i + 1, \dots, 0, 1, \dots, I_i$. Spinovi protona i neutriona, koji se (na razliku od elektrona i omotača atoma) uzajamno privlače, pokazuju tendanciju spajanja (dve čestice se kreću tako da su im momenti količine kretanja usmereni antiparalelno, što za par daje ukupni mehanički moment jednak nuli) i zbog toga su spinovi svih parno-parnih jezgara (N — parno, Z — parno) u osnovnom stanju jednakci nulli:

$$I_{pp} = 0 \quad (39.4)$$

Parno-neparni i neparno-parni jezgra (A — neparno) uvek imaju spin koji je celobrojni umnožak od $1/2$, odnosno:

$$I_{np} = \frac{k}{2} \quad (k = 1, 2, 3, \dots) \quad (39.5)$$

Spinovi neparno-neparnih jezgara (N — neparno, Z — neparno) su uvek celobrojni:

$$I_{NN} = k \quad (k = 0, 1, 2, 3, \dots) \quad (39.6)$$

ali u osnovnom stanju ne moraju imati vrednost 0.

Na primer, parno-parna jezgra ^{39}Se i ^{40}Kr imaju u osnovnom stanju spin $I=0$. Neparno-parno jezgra ^{41}K u osnovnom stanju ima spin $J=3/2$, a neparno-neparno jezgra ^{41}Bi ima spin osnovnog stanja $I=6$.

Kao što je rečeno, pri opisivanju magnetnih svojstava atoma, svaka čestica koja ima mehanički moment količine kretanja \vec{L} ima i dipolni magnetski moment:

$$\vec{M} = -\frac{e}{2m_p} \vec{L} \quad (39.7)$$

Ako se relacija (39.7) primeni na proton, dobija se:

$$|\vec{M}_p| = \frac{e}{2m_p} |\vec{L}| = \frac{e\hbar}{4\pi m_p} \sqrt{I(I+1)} = \mu_n \sqrt{I(I+1)} \quad (39.8)$$

gde je sa μ_n označen nuklearni magneton:

$$\mu_n = \frac{e\hbar}{4\pi m_p} = \frac{e\hbar}{2m_p} \quad (39.9)$$

Kako je $m_p \approx 1840 m_e$, vidi se da je vrednost nuklearnog magnetona oko 1840 puta manja od Borovog magnetona.

S obzirom da je magnetni moment jezgra neka kombinacija magnetnih momenata nukleona, vidi se da je njegova vrednost za tri reda veličine manja od magnetskog momenta atoma. Magnetni moment jezgra se ne može izraziti kao prosti aritmetička funkcija magnetnih momenata nukleona i sa spinom jezgra se povezuje relacijom:

$$M_f = g \mu_n J \quad (39.10)$$

gde je g Žiromagnetski odnos jezgra.

39.4. NASA, ENERGIJA VEZE I STABILNOST JEZGRA

Iako je jezgro atoma sačinjeno od Z protona i N neutrona, ukupna masa jezgra nije jednaka zbiru masa njegovih sastavnih delova, već je uvek manja od ovog zbiru. Da bi se ova pojava delimično razjasnila, razmotrimo proces stvaranja jezgra 2H (deuterijum) iz protona i neutrona. Neka se u početnom trenutku proton i neutron nalaze na dovoljno velikom međusobnom rastojanju i u stanju uzajamnog nirovanja. Ukupna energija sistema $n+p$ u datom trenutku ima vrednost:

$$E = m_p c^2 + m_n c^2 \quad (39.11)$$

Ukoliko se sada jedna od čestica ubrza u pravcu druge, uz dovoljnu energiju da se spoje u jezgro 2H , energija sistema ima tada vrednost:

$$E' = (m_p + m_n) c^2 + E_k + E_p \quad (39.12)$$

gde je E_k kinetička energija protona i neutrona, a E_p njihova uzajamna potencijalna energija. Kako se u jezgru 2H nukleoni nalaze u vezanom stanju, potencijalna energija je negativna, a kinetička energija je manja od potencijalne (jer bi se inače sistem raspoložio):

$$|E_k| < |E_p|; \quad E_k + E_p < 0 \quad (39.13)$$

Na osnovu relacija (39.11) i (39.12) sledi:

$$E' < E.$$

Znači, energija 2H je manja od energije njegovih sastavnih delova, tj. u procesu stvaranja jezgra od nukleona uvek se ostlobada energija. Ova se energija naziva energija veze jezgra. Ukoliko bi se jezgro rastavljalo na nukleone bilo bi potrebno uložiti jednak iznos energije.

Masa jezgra od Z protona i A nukleona se može izraziti u obliku:

$$m(A, Z) = [Zm_p + (A - Z)m_n - E_v({}^2H)] \quad (39.14)$$

gde je E_v energija veze. Uporedi li se energija veze deuterijuma, koja iznosi: $E_v({}^2H) = 2.2 \text{ MeV}$ sa energijom veze elektrona u atomu, koja iznosi nekoliko desetina eV,

vidi se da su energije veze jezgra oko 10^5 puta veće od energije veze atoma. To je razlog zašto je uticaj energije veze atoma na masu atoma zanemarljiv. Razlika:

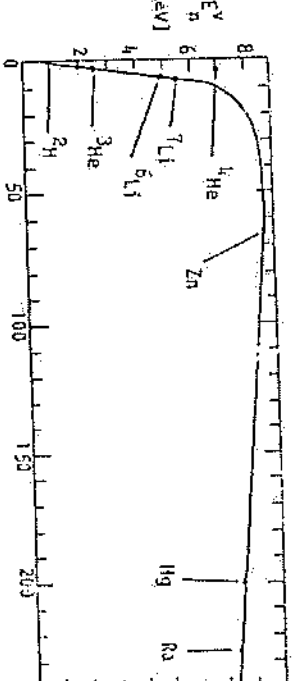
$$\Delta m = [Zm_p + (A - Z)m_n] - m(A, Z) = \frac{E_v}{c^2} \quad (39.15)$$

se često naziva defekt mase jezgra.

Vrednost energije veze jezgra pokazuje da su sile koje nukleone povezuju u jezgro daleko jače od Kulonove sile. Pokazano je kako osnovne osobine ove sile utiču na stabilnost jezgra.

Energija veze je tesno povezana sa stabilnošću atomskega jezgra. Što je energija veze veća, veća je i stabilnost jezgra. Kako je, međutim, energija veze jezgra jednaka energiji potreboj da se jezgro razbije na protone i neutrone, jasno je da se energija veze povećava sa brojem nukleona u jezgru. Zato je prava mraza upoređivanje stabilnosti jezgra energija veze podjeljena sa brojem nukleona. Za stabilna jezgra je prikazana na sl. 39.2. Kao što se vidi, najveća energija veze po nukleonu ($\approx 8.5 \text{ MeV/nukl}$) imaju srednje teška jezgra ($A \approx 60$). Kasnije se analiza utičaj ovakve raspodele veze na mogućnost dobijanja energije iz nuklearnih reakcija. Da bi se energija veze po nukleonu, odnosno rijeka data raspodela kvalitativno razumela, navedeni su osnovni činoci koji utiču na stabilnost atomskih jezgra:

1. Nuklearna sila, koja nukleone drži na okupu jednaka je između svih nukleona. Ova sila je privlačna, ne razlikuje protone od neutrona i ima veoma kratak doomet (≈ 2 puta manji od poluprečnika teških jezgra). Znači nukleon ovom silom deluje samo na svoje neposredne susede.



Sl. 39.2

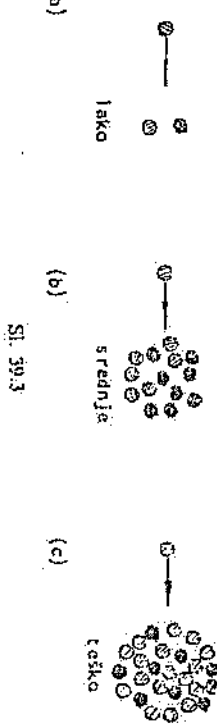
2. Paulijev princip važi nezavisno za neutrone i protone. Dva protona, odnosno dva neutrona se ne mogu naći u istom kvantnom stanju.

3. Između protona dejstvuje odbojna Kulonova sila.

Moguća je sada analiza kako ovi činoci utiču na stabilnost lakih, srednjih i teških atomskega jezgra (sl. 39.3).

Ako se jezgru dodaje jedan nukleon, s obzirom na Paulijev princip treba da zauzme novo (slobodno) kvantno stanje. Nukleon u višem kvantnom stanju je manje vezan za jezgro i manje doprinosi energiji veze. S obzirom da protoni i neutroni kvantna stanja popunjavaju nezavisno, energetski najniže stanje, odnosno

najveću energiju veze ima jezgro sa jednakim brojem protona i neutrona (ukoliko se Kulonova sila između protona zanemari). U slučaju lakih jezgara (sl. 39.3. a) se donut nukleon uspostavlja vezu samo sa nekoliko jezgara, zbog čega ne povećava energetiju veze za onaj iznos, za koji bi to učinio da u blizini ima više suseda. U slučaju srednjih jezgara, novodobiji nukleon ima dovoljno suseđa (prostor oko njega, unutar dometa nuklearne sile je popunjeno da uspostavi maksimalnu vezu sa jezgrom. Nuklearna sila dolazi u stanje saturacije i daje najveće vrednosti energije veze po nukleonu. Kod teških jezgara (sl. 39.2. c) nuklearna sila je već u saturaciji i dodavanje novog nukleona ne povećava saturiranu vrednost energije veze. Energija veze po nukleonu, zbog toga, opada (jer dodavanjem novog nukleona raste A).



Sl. 39.3

Na povećanjem broja protona u jezgru se povećava i oddjeljiva Kulonova sila. Kako se jačina ove sile povećava kao Z^2 , stabilnost teških jezgara se vrlo brzo smanjuje sa povećanjem broja protona i jezgra za koja je $Z > 83$ se spontano raspadaju. Spontani raspad jezgra naziva se *radioaktivni raspad*.

39.3. ENERGETSKI NIVOI JEZGRA

Jezgro je kvantnomehanički sistem sastavljen od A nukleona i slično atomima može da ima samo diskretna energetska stanja. Da bi se moguće vrednosti energije jezgra izračunale, potrebno je rešiti Šredingerovu jednačinu u koju se uvrštava potencijal polja u kojem se nukleoni kreću. Ovaj se problem, veoma teško rešava, jer u jezgru ne postoji (kao kod atoma) izvor centralne sile, već se polje u jezgru izgraduje interakcijom svih nukleona. Sila između nukleona naziva se *sila jake interakcije* i kao što je već rečeno, ne zavisi od naelektrisanja nukleona. Na veoma malim rastojanjima između nukleona ova je sila odbojna, dok na rastojanjima reda veličine $\approx 10^{-15}$ m, postaje privlačna. S obzirom na ovu osobinu, sila jake interakcije podseća na međumolekularne sile i ona je i danas predmet intenzivnih izučavanja.

Eksperimentalno ustavljena energetska stanja jezgra, tumače se danas kao jednočestućna i kolektivna. Jednočestućno stanje je energetski nivo koji može da zauzme nukleon u pojlu jake interakcije. Nukleoni po Paulijevom principu popunjavaju ova stanja i kada su sva najniža stanja zauzeta, jezgro se nalazi u osnovnom stanju. Ako interakcijom sa česticama ili poljima jezgro dobije odgovarajuću energiju, može da pređe u pobudeno stanje. Kolektivno pobudena stanja jezgra imaju znatno manju energiju od jednočestućnih i ostvaruju se rotacijom i oscilacijama celog jezgra. Ako je energija pobude manja od energije separacije (odvajanja) čestica iz jezgra, jezgro se iz pobudjenog u osnovno stanje vrati emisijom γ -kvanta.

40. RADIOAKTIVNI RASPAD

Već je rečeno da su sva teška jezgra, sa više od 83 protona, radioaktivna; sponjano se raspadaju emisijom čestica i γ -zračenja. Sam akt radioaktivnog raspada je statistički proces, što znači da se trenutak raspada datog jezgra ne može tačno predviđeni, ali se može odrediti broj jezgara koji se u određenom vremenskom intervalu raspade. Ako radioaktivna supstancija u početnom trenutku sadrži N_0 jezgara iste vrste, tada do vremena t ostane neraspadnuto

$$N = N_0 e^{-\lambda t} \quad (40.1)$$

jezgra. U zakonu (40.1) radioaktivnog raspada λ se naziva konstanta raspada datog radioizotopa. Konstanta raspada određuje verovatnoću raspada datog jezgra. Ona je povezana sa periodom poluraspada izotopa relacijom:

$$\lambda = \frac{\ln 2}{T} = 0.693 \quad (40.2)$$

Neka je uzorak analiziran u vremenu $t = T$. Za ovo se vreme, prema (40.1) i (40.2) raspadne

$$N_0 - N = N_0 (1 - e^{-\ln 2}) = \frac{1}{2} N_0 \quad (40.3)$$

jezgra. Znači, u trajanju od jednog perioda poluraspada raspadne se polovina od početnog broja jezgara. Broj radioaktivnih raspada u jedinici vremena u jednom uzorku naziva se aktivnost radioaktivnog izvora:

$$A = \left| \frac{dN}{dt} \right| = \lambda N \quad (40.4)$$

i izražava se u bekerelima — Bq. Jeden bekerel odgovara aktivnosti od jednog raspada u sekundi — $1 \text{ Bq} = 1/1 \text{ s}$.

40.1. VRSTE RADIOAKTIVNOG RASPADA

Na osnovu izložene analize sastava atomskog jezgra, moglo bi se očekivati da pri radioaktivnom raspадu jezgro emituje neutrone ili protone. Međutim, energija veze nukleona u jezgru ima relativno veliku vrednost (oko 8 MeV), koja je znatno veća od energije veze α i β čestica. Jezgra se, zbog toga, spontano raspadaju α i β raspadom, a ne emisijom nukleona.

a. α -raspad

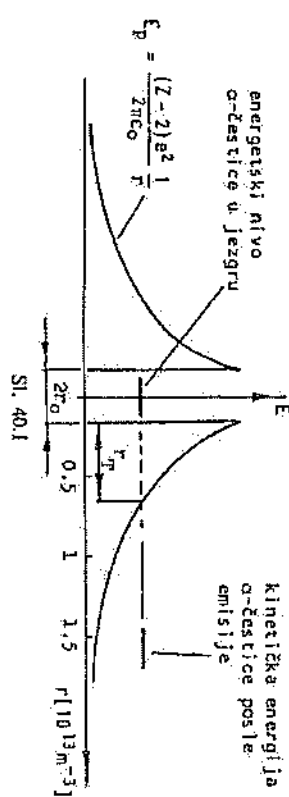
α -čestica je atomsko jezgro sastavljeno od dva protona i dva neutrona. To je jezgro izotopa helijum sa dva neutrona, zbog čega se označava kao ${}^{4}\text{He}$. Ova dvostruko pozitivno naelektrisana čestica se obično emituje iz teških atomskih jezgara. Na primer, izotop radijuma ${}^{226}\text{Ra}$ se raspada, emisijom α -čestice u izotop ${}^{222}\text{Rn}$ koji se javlja u gasovitom agregatom stanju:



U opštem slučaju α -raspad je oblika:



gde su X i Y jezgro prelka i potonka, redom. α -čestica se u jezgru obrazuje slučajnim susretom dva protona i dva neutrona. Može se postaviti pitanje: zašto ovako obrađuju čestica ne napusti jezgro trenutno? Približavajući se ivici jezgra α -čestica nađi se na Kulonovu potencijalnu barjeru (sl. 40.1). Energija α -čestica u jezgru je niža od više barjere i prema zakonima klasične fizike, čestica nikako ne bi mogla da napusti jezgro. Međutim, kao što je pokazano ranije prema zakonima kvantne



Sl. 40.1

mehanike postoji končna, veoma mala verovatnoća da čestica pređe rastojanje r_T , tj. da prođe kroz barjeru. Od mnostva stvorenih α -čestica samo poneka može, ovim tunnel-efektom, da napusti jezgro. Verovatnoća prolaska kroz barjeru (verovatnoća „tunelovanja“) $\lambda(\omega) \approx 1/T(\omega)$ se povećava sa energijom α -čestice, pa se, na osnovu pomenutog mehanizma, raspada, može očekivati da se period poluraspada α -emitera smanjuje sa povećanjem energije α -zračenja. Zakonitost oblika:

$$\ln T(\omega) \approx 1/\sqrt{E_\alpha} \quad (40.7)$$

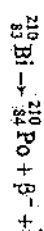
je provjerena i eksperimentalno.

b. β -raspad

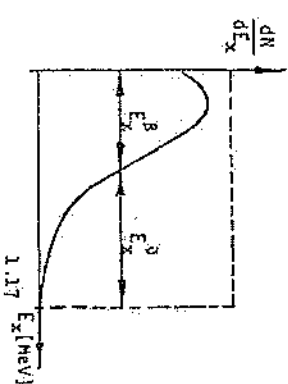
Kod ovakvih raspada povećava se pozitivno naelektrisanje jezgara, što znači da se iz njih emituju elektroni, koji su nazvani β^- česticama. Kao što je već rečeno, u jezgru ne mogu da postoji slobodni elektroni, te se mora prepostaviti da se oni stvaraju u toku emisije. Elektroni se u jezgru mogu svestri transformacijom neutriona u proton, slično raspodu slobodnog neutrona:



materija, te se ne može detektovati bez posebnih uslova eksperimentu. Ova čestica prati sve vrste β raspada, a analiza se odnosi na njenu ulogu u primjeru β^- raspada:



Raspad se vrši između diskretnih energetskih nivoa ^{210}Bi i ^{210}Po , pri čemu se uvek osloboda energija od 1.17 MeV. Međutim, ne emituje se kod svakog raspada β^- čestica jednake energije, već različita jezgra (iste vrste) emituju β^- čestice čija kinetička energija varira u intervalu od 0 do 1.17 MeV, pri čemu se broj emitovanih elektrona u elementarnom intervalu energije dN/dE_β merja kontinuirano sa energijom (sl. 40.2). Energiju raspada medusobno deli β^- čestica i antineutrino, tj. zbir njihovih kinetičkih energija je jednak ukupnoj energiji oslobodenoj u raspadu. Samo do sada razinotrenutog β^- raspada, konacno su još poznati i radioaktivni prelazi između izobarnih jezgara, koji se nazivaju β^+ raspad i zahvat atomskih elektrona.



Sl. 40.2

Kod β^+ raspada jezgro emituje pozitron: Pozitron ima iste osobine kao i elektron, s tim što ima pozitivno elementarno naelektrisanje. Pozitron je antičestica elektrona. U sudaru čestice i antičestice njihova se ukupna masa mirovanja, prema relaciji $E=mc^2$, pretvara u energiju. Kao primer β^+ raspada može se navesti proces:



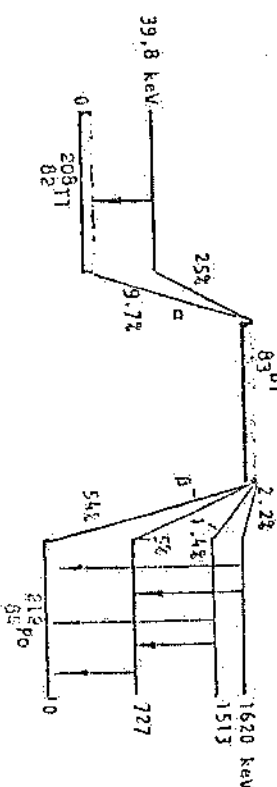
gde je ν oznaka za neutrino.

Elektronski zahvat je takav proces radioaktivnog raspada pri kojem se jezgro osloboda viška energije zahvatom jednog elektrona iz atomske orbitale (obično iz K-ljuske). U ovom procesu je jedina emitovana čestica neutrino:



Na kraju razmatranja radioaktivnog raspada treba istaći da su različite vrste raspada uzajamno konkurentni procesi. Znači, da se jedan izotop može sa određenom verovatnoćom raspaditi na više načina. Na primer, prirodnji radioaktivni izotop (Perudoš) radioaktivnim izotopima nazivaju se radioaktivna jezgra, koja se rezultat rada čoveka, već su nastala tokom stvaranja elemenata u zvezdama ili ih stvaraju kosmički zraci. Ona uglavnom potiču od raspada dugogodišnjih izotopa torijuma i urana, čiji su period poluraspada od oko 10^{10} godina.) ^{210}Bi pokazuje α i β raspad. Na sl. 40.3 prikazana je delimična shema raspada ovog izotopa. Deblje horizontalne linije predstavljaju osnovna stanja jezgara, a tanje pobudena stanja. 54% jezgara

^{212}Bi u osnovnom stanju se raspada β^- raspadom u osnovno stanje ^{212}Po , a 9.7% se α -zračenjem raspada u ^{208}Tl . U ostalim slučajevima raspada jezgara potonici nastaju u pobudrenom stanju iz kojeg u osnovno stanje prelaze emisijom γ -zračenja.



Sl. 40.3

41. NUKLEARNE REAKCIE

Nuklearna reakcija je proces transformacije atomskih jezgara pri utrjamnom sudaru. Obično se reakcija odvija između čestice (projektila), koja se određenom brzinom kreće prema meti i atomskih jezgara u meti. Na osnovu zakona održanja nadeleksiranja i zakona održanja broja nukleona, u opštem slučaju, reakciju između jezgra projektila x i jezgra mete X se piše u obliku:



gdje su y i Y produkti reakcije, a $A_1 + A_2 = A_3 + A_4$ i $Z_1 + Z_2 = Z_3 + Z_4$. U skraćenom obliku ova se reakcija može napisati kao $X(x, y) Y$. Na primer, reakcija u kojoj teški vodonik (^2H) ili deuterijum (d) predaje jedan neutron jezgru ${}^3\text{Li}$, može da se napiše kao:



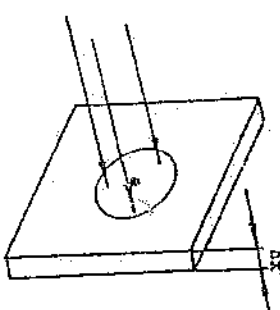
41.1. VEROVATNOĆA NUKLEARNIH REAKCIJA

Da bi se pokazalo kako se definije verovatnoca nuklearnih reakcija, posmatrajmo rastejanje snopa testica srednje brzine v , na tankoj meti debeljine Δx u kojoj po jedinici zapremine ima N jezgara (sl. 41.1.). Proizvod $N \cdot \Delta x$ određuje ukupan broj jezgara u meti sa kojima čestice mogu da interaguju ($\text{jer je } \Delta x \text{ veoma mala debeljina čestice iz snopa, prolaze pored svih jezgara koja se nalaze na jedinici površine mete}$). Verovatnoca interakcije sa datim jezgrom u meti zavisi od dometa site između upadne čestice i tog jezgra. Jezgra interaguje sa česticom ako ona prođe kroz polje dejstva sile, tj. kroz površinu σ (sl. 41.2). Ova se površina naziva presek za interakciju. Presek ima dimenzije površine i u nuklearnoj fizici se upotrebljava veličina površine od 10^{-28} m^2 (u ranijoj literaturi poznata pod nazivom *baron*). Ukupna verovatnoca da jedna čestica interaguje sa atomima u meti može se izraziti kao:

$$P = \sigma N \Delta x$$

Ako se broj čestica po jedinici zapremine u snopu označi sa n i ako se uzme u obzir da za vreme Δt snop prelazi put $\Delta x = v \cdot \Delta t$, broj reakcija za vreme Δt može se napisati kao:

$$R' = n P = \sigma N \Delta x \Delta t \quad (41.4)$$



Sl. 41.1

U jedinici vremena se odigrava:

$$R = \frac{R'}{\Delta t} = n \sigma N v = \sigma N \Phi \quad (41.5)$$

interakcija. Simbolom $\Phi = nv$ označen je *flukus* čestica u snopu.

41.2. ENERGETSKI BILANS NUKLEARNIH REAKCIJA

Za reakciju $X(x, y) Y$, koja se odvija na mirujućem jezgru X , zakon o održanju energije se može napisati u obliku:

$$E_k^* + (m_x + m_y)c^2 = (m_Y + m_y)c^2 + E_k' + E_Y' \quad (41.6)$$

gdje je E_k kinetička energija. Veličina:

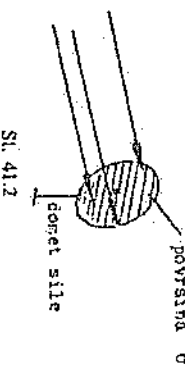
$$Q = E_k^* + E_k' - E_Y' = (m_X + m_x - m_Y - m_y)c^2 \quad (41.7)$$

se naziva *energija reakcije*. Energija reakcije može da se računa iz razlike masa čestica koje u reakciji ulaze i iz nje izlaze. Ova veličina može biti pozitivna ili negativna. Ako je $Q > 0$ pri reakciji se osloboda energija i reakcija se naziva *eksotonerna*. Reakcija je endoternika ako je $Q < 0$ i ona se ostvaruje na račun uložene energije za ubrzanje čestice x . Najmanja kinetička energija projektila x za ostvarjenje endoternike reakcije $X(x, y) Y$ naziva se *energija prelaza*. Energija praga se može izračunati iz zakona o održanju energije i količine kretanja. Ako se reakcija odvija na samom pragu, produkti reakcije se ne razdvajaju, već se kada jedna čestica kreće zajedno. Potonuti zakoni o održanju energije i količine kretanja mogu se napisati kao:

$$E_k^* = |Q| + E_{k+\tau}^*, \quad K_x = K_{x+\tau} \quad (41.8)$$

Kako je $E_k = K_x/2 m$, zakon o održanju količine kretanja može se izraziti u obliku: odakle je:

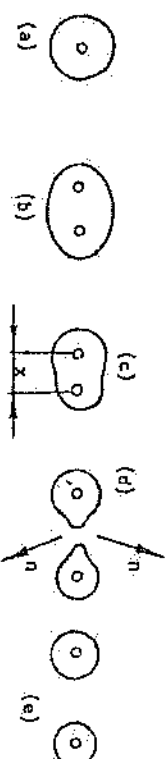
$$E_k^* = \frac{m_x + m_x}{m_x} |Q| \quad (41.9)$$



Sl. 41.2

41.3. FISIJA JEZGRA ATOMA

Fisijom (cepanjem) jezgra se naziva proces u kojem se teško jezgro raspada na fragmente. Ovaj se proces kod jezgra sa $A > 238$ može odvijati spontano, ali je od daleko većeg značaja indukovana fisija, koja nastaje posle reakcije sa nekom česticom. Nakon prijema energije, jezgro počinje da osciluje sve većim amplitudama i će pa se obično na dva dela. Proses je po fazama, shematski prikazan na sl. 41.3. a—e.



Sl. 41.3

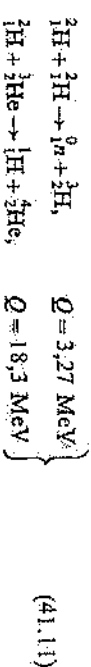
Mnoga se jezgra mogu cepati na delove pri interakciji sa visokenergetskim česticama, međutim ^{235}U je jedini prirođeni izotop, koji pokazuje proces fisije pri interakciji sa sporicom (termalnim) neutronima. Tipičan primer ovakve reakcije je:



Energija ove egzotermne reakcije dobija se na račun razlike energija veze ${}^{235}\text{U}$ i fisionih fragmenata (v. sl. 39.2). Fisioni fragmenti su jezgra bogata neutronima izbog toga su nestabilna i raspadaju se radioaktivnim raspadom. Uporedite li se energije veze po nukleonu za ${}^{235}\text{U}$ (≈ 8.5 MeV) i za oblast stabilnih produkata, fisije (≈ 7.6 MeV), vidi se da se kod fisije osloboda energija $235(8.5 - 7.6) \approx 200$ MeV. Od ove energije oko 160 MeV odnosi fragmenti fisije u vidu kinetičke energije, dok se ostatak energije osloboda kod radioaktivnog raspada fisionih produkata. Iz relacije (41.10) se vidi da je cepanje ${}^{235}\text{U}$ uvek prateo emisijom neutrona, što omogućuje cepanje ostalih jezgara ${}^{235}\text{U}$ fisionom materijalu. Ova je činjenica od osnovnog značaja za dobijanje *kontrolirane reakcije*, odnosno u primeni procesa fisije za dobijanje energije.

41.4. FUZIJA ATOMSKIH JEZGARA

Na osnovu raspodele energetije veze u atomskim jezgrima (sl. 39.2) može se uočiti da je i spašanje lakošću atomskih jezgara (fuzija) takođe egzenergetska reakcija. U tip fuzionih reakcija ubrajaju se:



Vidi se da drugi primer navedene fuzione reakcije osloboda daleko veću energiju po nukleonu (odnosno po jedinici mase reakcionog materijala) nego u slučaju fisije. Osnovni problem u ostvarivanju ovakvih nuklearnih reakcija predstavlja Kulonova bariera, koja se javlja pri interakciji dva pozitivna nakelektrisana. Ako kinetička energija jezgara pri sudaru nije dovoljna da saviđa elektrostatičko odabijanje, jezgra se neće približiti u domen dejstva sile, jake interakcije i reakcija se neće odigrati.

Za savladavanje Kulonove odbojne sile jezgri je potrebna kinetička energija od oko 10 MeV. Toliku se energiju jezgrima može lako stupštiti pomoću akceleratora.

Nu ovaj način, nedostatni, fuzija se može ostvariti samo na malom broju jezgara. Ako se zahteva da većina jezgara u gorivu dostigne ovu veliku energiju, tj. da srednja kinetička energija u materijalu ima toliku vrednost, prema $E_k = kT$, potreban je visokotemperaturni (nekontrolisani) proces fuzije odigrava se prilikom eksplozije hidrogenerne bombe čiji je upaljač (generator topline) fisiona (atomska) bomba.

42. DETEKCIJA NUKLEARNOG ZRAČENJA

42.1. INTERAKCIJA ZRAČENJA SA MATERIJALOM

Kako bi osnovni principi detekcije zračenja postali razumljniji, upoznajmo se u najkratčim crtama sa osnovnim procesima interakcije različitih vrsta zračenja sa materijalom.

a. α -zračenje

Prilikom prolaska kroz materijal dvostruko nadelektrisane α -čestice interaguju sa elektronima iz atomskog omotača i vrše akscialaciju ili ionizaciju atoma. Zbog svoje velike mase α -čestice kroz materijal prolaze pravolinjski i brije gube svoju energiju zbog brojnih interakcija sa elektronima atoma. Njihov je domet relativno mal i u vazduhu iznosi oko 10 cm.

b. β -zračenje

Pri sudaru sa elektronima atoma β -zraci (elektroni) bitno menjaju pravac svog kretanja i kreću se izlomljrenom putanjom. Oni takođe vrše ionizaciju atoma, ali s obzirom na manu sopstvenu masu, gube energiju i emisiju zakognog zračenja (poznato je iz elektrodinamike da je svako usporavanje, odnosno ubrzavanje, načinjanje pruženo elektromagnetskog zračenja). Ovi radijacioni gubici energije su posebno izraženi pri kretanju brzih elektrona kroz materijal. Tipičan domet β -čestica u vazduhu nije veći od nekoliko metara.

c. γ -zračenje

Pri interakciji sa atomskim elektronima γ -zraci, koji su po svojoj prirodi visokenergetski elektromagnetski talasi, mogu celokupnu svoju energiju predati vezanim elektronima u atomu. To je već ranije opisani fotoelektrični efekat. Proces rasčajnja γ -zračenja na elektronima, u kojem γ -zraci prenose samo deo svoje energije na elektrone, naziva se *Komptonovo raseljene*. Efektor kreacije (stvaranja) paru u materijalu mogu izazvati samo γ -kvanti čija je energija $E_\gamma > 2m_e c^2$ (gde je m_e masa mirovanja elektrona). Kod ovog efekta γ -kvanti u polju jezgra atoma vrše transformaciju svoje energije u masu i stvaraju par elektron-pozitron. S obzirom na

pomenute procese broj γ -kvantata koji prolaze kroz materijal će smanjivati eksponentno sa debiljnom materijala x :

$$N_x = N_0 e^{-\mu x} \quad (42.1)$$

U relaciji (42.1) sa μ je označen linearni koeficijent apsorpcije γ -zračenja, koji zavisi od vrste materijala i energije γ -zračenja.

42.2. DETEKTOVI JONIZUJUĆEG ZRAČENJA

Detektori ionizujućeg zračenja su uređaji koji mikroskopske efekte ionizacije pojačavaju do potrebnog nivoa, kako bi se ljudskim čulima mogli zapaziti. S obzirom na pojačanje, detektori se dele na električne i vizuelne detektore zračenja. U električnim detektorema proces ionizacije se koristi za stvaranje mjerljivih električnih signala, dok se kod vizuelnih detektora dejstvo zračenju pretvara u vidljivu informaciju. Prema svojoj nameni detektori se dele na dozimere, brojače i spektrometre. Dozimetri se određuju ukupan efekat zračenja na dati materijal. Kao mjerljivi efekti zračenja obično se uzima ukupno nadelektrisanje stvoreno ionizacijom, po jedinici mase materijala, odnosno *ekspozicija doza*. Brojačima zračenja se registruje broj ionizujućih čestica ili fotona, bez obzira na njihovu vrstu i energiju. Spektrometri zračenja daju makrofizičku informaciju, kako o broju ionizujućih kvantata tako i o njihovoj energiji. Jedna od osnovnih karakteristika svih pomenutih instrumenata (uređaja) je njihova efikasnost detekcije. Naime, instrumenti ne registriraju sve interakcije zračenja sa detektorem. Efikasnost detekcije se definisce kao:

$$\varepsilon = \frac{N_r}{N_i} \quad (42.2)$$

gde je N_r broj registrovanih interakcija, a N_i broj čestica ili γ -kvantata koji dopiru do detektora. Efikasnost detekcije obično opada sa porastom energije zračenja. Vazna karakteristika spektrometara zračenja je njihova moć razlaganja. Sto je ona veća, time više može da razlikuje dve bliske energije zračenja. Kao mera za moć razlaganja spektrometra može da se uzme relativna širina registrovane spektralne linije:

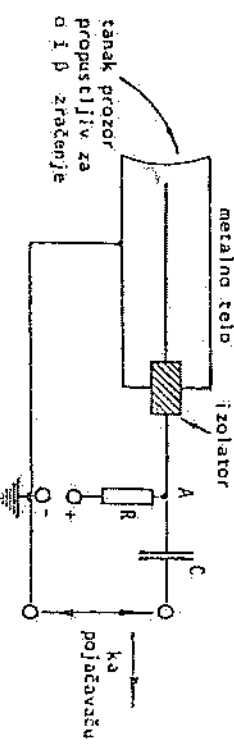
$$R = \frac{\Delta E}{E} \quad (42.3)$$

gde je ΔE širina spektralne linije energije E .

a. Detektori električnog tipa

Gasan detektori. Zračenje se kod ovih uređaja registruje putem ionizacije nastale u gasu kojim je telo detektora napunjeno (sl. 42.1). Između tela brojata i centralne elektrode (anode) priključen je napon od nekoliko stotina V. Gasno punjenje pod sniženim pritiskom ne provodi struju zbog čega je potencijal tačke A jednak potencijalu neuzemljenog pola izvora napajanja. Ako u gasu dođe ionizacija zračenje, on postaje ionizovan, a pozitivni i negativni nosilci naefektiraju (ioni, elektroni) sakupljaju se na elektrodama. Kako sada kroz kolo protiče struja razlika potencijala na krajevima otpornika R nije više nula, pa se ova promena, kao naponski signal prenosi preko kondenzatora C na ulaz pojačavača i registruje. Ulazak

sukog kvanta zračenja je na taj način praćen naponskim impulsom, koji brojač registruje. Ukoliko visina ulaznog impulsa zavisi od energije upadne čestice, tada je reč o *proporcionalnom brojaču*, koji spada među najednostavnije spektrometri. Zbog male koncentracije molekula gasa ovi spektrometri imaju malu efikasnost pri detekciji γ -zračenja, ali imaju relativno veliku moć razlaganja. Ako se električno

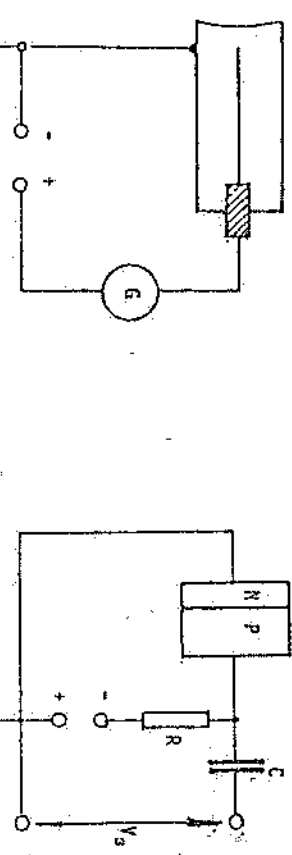


Sl. 42.1

polje u brojaču poveća na takve vrednosti da, usled ubrzanog kretanja jona, u gasu započne proces udarne ionizacije, visina impulsa znatno poraste, ali više ne zavisi od energije upadnog zračenja. U ovoj oblasti napon radi Geiger-Müllerov brojač.

Ukoliko se gasna cev poveže direktno sa osetljivim galvanometrom (sl. 42.2) uređaj meri struju ionizacije, koja je proporcionalna eksponencijalno dozi ostvarenoj u jednom vremenu.

Popoluprovodnički detektor. Kod ovih se detektora zračenje registruje u inverzno polarizovanom PM-poju poluprovodniku (sl. 42.3), ili u čistom, besprinesnom, poluprovodniku. U ovakvoj sredini zračenje kreće parove elektron-šupljina, za što je potrebna znatno manja energija nego za ionizaciju. Broj obrazovanih parova je



Sl. 42.2

Sl. 42.3

proporcionalan energiji zračenja i nakon proticanja struje kroz kolo, signal (naponski impuls) na kondenzatoru je takođe proporcionalan energiji zračenja. S obzirom na solidnu efikasnost i veoma dobro energetsko razlaganje, poluprovodnički spektrometri se u praksi često koriste za sve vrste zračenja.

b. Vljučni detektori

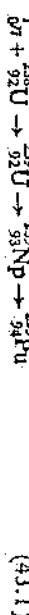
Fotografska emulzija. Fotoosjetljivi materijali se mogu koristiti i za detekciju ionizujućeg zračenja. Ionizujuće zračenje, slično kao i svetlost oštećuje kristalu rešetku u emulziji i efekti ovih oštećenja postaju vidljivi tek nakon hemijske obrade (razvijanja). Ukoliko se u emulziji prate tragovi pojedinih čestica, moguće je iz izmerenog dometa zaključiti i o vrsti i energiji čestica. Ako se emulzija koristi kao dozimetar, mjeri se samo ukupno zatrivenje cele površine, koja je bila izložena zračenju.

Maglena i mehurasta komora. Osetljiva oblast ovih detektora je ispunjena prezasaćenom parom (maglena komora), odnosno pregejanom tečnošću (mehurasta komora). Fazni prelaz u ovakvim sredinama započinje na mestima gde se nalaze nečistoće i na mestima gde ionizujuće zračenje oslobodi energiju. Trag čestice u maglenoj komori običajno je, prema tome, kondenzacioni pare u tečnost, a u mehurastoj komori lokalnim klijujanjem tečnosti. Mehurasta se komora koristi posebno pri ispitivanju interakcija visokoenergetskih čestica.

43. PRIMENE NUKLEARNE FIZIKE

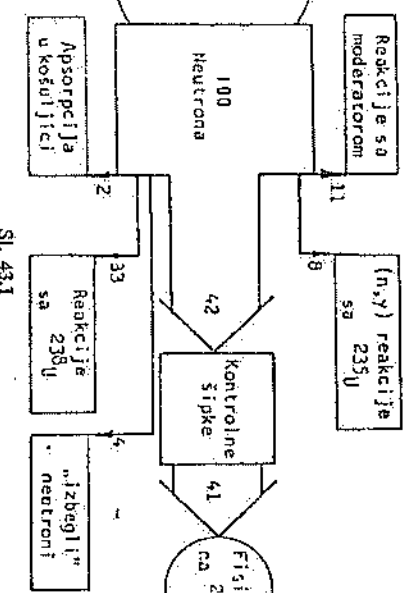
43.1. PROIZVODNJA NUKLEARNE ENERGIJE

Nuklearna energija se današ proizvodi kontrolisano u nuklearnim fisionim reaktorima. Osnovno gorivo u reaktorima je izotop ^{235}U , koji u prirodnom uranu ima 0.7%, dok preostali deo prirodnog urana spriječava izotop ^{238}U , koji može da se raspada fisionom samo posle zahvata visokoenergetskih neutrona. Posle zahvata terminalnih neutrona ^{238}U lansem β -raspada prelazi u ^{94}Pu , koji je takođe fisioni materijal:



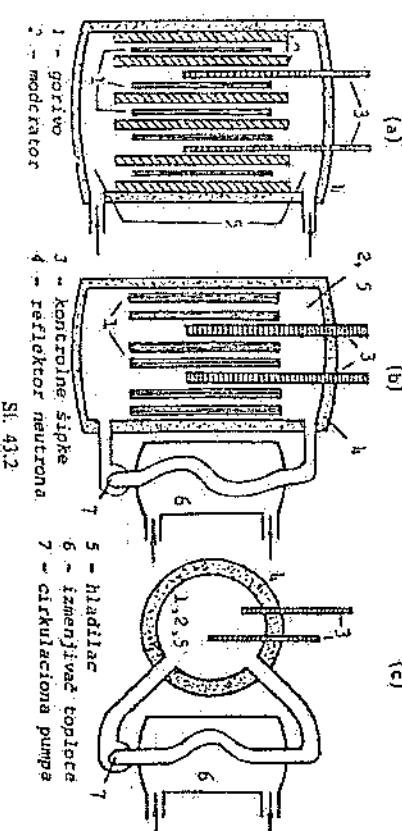
Osnovni problem u radu nuklearnih reaktora je kontrola umnožavanja neutrona u procesu lančene reakcije. Ukoliko je faktor umnožavanja neutrona $k > 1$, reaktor je u potkrivenom stanju i lančana reakcija se zauzavlja. Za $k = 1$ u reaktoru se troši onoliko neutrona koliko se fisijem i oslobođa, a reaktor se nalazi u kritičnom (stacionarnom) režimu. U nekritičnom stanju kada je $k < 1$ neutroni se nekontrolisano umnožavaju što stalno ubrzava proces lančane reakcije i dovodi do eksplozije. U aktu fisijsi se dobijaju neutroni sa poteretnom kinetičkom energijom od oko 2 MeV. Presek za proces fisije ^{235}U sa ovim visokoenergetskim neutronima je veoma mal, što znači da samu nekoliko od mnoga neutrona dovodi do novih cepljenja jednog. Da bi reaktor mogao efikasno da sagoreva ^{235}U , neophodno je da se neutroni dobijeni u aktu fisije uspori do veoma niskih (terminalnih) energija. Ovo se postiže pomoći moderatora. Materijali moderatora treba da budu od lakocepljenih elemenata čija jezgra ne stupaju u reakciju sa neutronima da bi se dobio što više sporih neutrona na izlazu iz moderatora. Kao moderator danas se najčešće koristi grafit, voda ili teška voda (voda obogatljena izotopom ^2H). Obična voda je veoma efikasna u usporavanju neutrona, ali se u njoj deo neutrona gubi reakcijom $^1\text{H}(n, ^2\text{H})$. Usporavanje neutrona je manje efikasno u teškoj vodi, ali se u njoj gubi znatno manje neutrona nego u običnoj vodi. Ovdje se nešto detaljnije razmotreni procesi koji utiču na multiplikaciju neutrona u slučaju reaktora koji kao gorivo koristi

prirodni uran, sa moderatorom od graftita (sl. 43.1). U prosjeku kod 41 fisije ^{235}U se emituje 100 neutrona. Oko 33 neutrona se gubi zbog reakcije sa ^{238}U , a oko 8 učestvuje u reakcijama (n, γ) na ^{235}U . Daljin 11 neutrona se gubi na reakcije sa jezgrima u moderatoru (to su, uglavnom, jezgra primesa u grafitu), a oko 2 neutrona se apsorbuje u kosičici gorivih elemenata. Znači, od 100 proizvedenih neutrona preostaje 46, a za odžanje kritičnosti reaktora neophodan je 41.



Sl. 43.1

Pored upotrebe neutronskog reflektora koji okružuje aktivnu zonu reaktora, izvestan broj neutrona može da napusti tu zonu. Broj ovako izbeglih neutrona zavisi od odnosa površine prema zapremini aktivne zone. Da bi broj izbeglih neutrona bio, recimo, oko 4, neophodno je da jezgro reaktora ima određenu minimalnu veličinu. U takvom jezgru preostaje još samo jedan neutron za regulaciju naga. Broj ovih neutrona se reguliše pomoći kontrolnih šipki koje se obično izaredjuju od čelika legiranog B, Cd, koji imaju veliki presek za zahvat terminalnih neutrona. Podizanjem ili spuštanjem kontrolnih šipki u jezgru reaktora, broj neutrona nastalih posle detekcije jedne odigrane fisije se svodi tačno na 41, čime se reaktor dovodi u stacionarno stanje. Shema ovakvog reaktora je dana na sl. 43.2. a. Kao što se vidi, kod ovakve konstruk-



Sl. 43.2

cite gorivo i moderator se nalaze prostorno odvojeni i zbog toga je reaktor *heterogen*. Heterogeni reaktor sa tečnim moderatorom (vodi ili teška voda) je prikazan na sl. 43.2. b. Kao što je već rečeno, u prirodnom uranu se veliki broj neutrona gubi na reakcije sa ^{238}U . Reaktor sa prirodnim uranom, zbog toga, treba da ima 'velike' dimenzije. Kod ovakvih reaktora se u energetskim primenama koristi reaktori uvek uporebljava teška voda. Za prizvodnju energije pretežno se koristi reaktori koji koriste uran obogaćen izotopom ^{235}U , jer se takvim gorivom mogu dobiti velike snage iz relativno male zapremine jezgra reaktora. Sa visoko obogaćenim gorivom moguće je izraditi *homogene* reaktore, čija je skica pokazana na sl. 43.2. c. Kod ovih je reaktora voden i rastvor soli obogaćenog urana i gorivo i moderator.

proizvodnju energije koriste brze neutrone. Relativno malo aktivno jezgro (zapravo svega nekoliko litara) ovih reaktora sadrži visokoobogaćeni uran bez moderatora. Kako u gorivu ima veoma malo jezgara ^{238}U lančana se reakcija može održavati i u fizijskom ^{235}U pod dejstvom brzih neutrona. Veliki broj neutrona napušta jezgro i tada reakcijom i dolazi do sloja prirodnog urana, kojim je obuhvaćeno cato jezgro i tada reakcijom (4.1) proizvodi plutonijum. Kod ovakvih reaktora se pri 40 fisijskih ^{235}U stvara oko

100 neutrona. Za održavanje lancane reakcije je dovoljno 40 neutrona, oko 10 se gubi apsorpcijom i drugim procesima, a oko 50 proizvodi iz ^{238}U . Fisioni izotop ^{139}Pu . Kao što se vidi, ovakav reaktor sem proizvodnje energije stvara više fisionog materijala nego što troši. Ovakvi reaktori oplođuju prirodnji uran i stvaraju fisionim materijalom za rad drugih reaktora. S obzirom da se brzinu neutronima može srovnjivati i iz torijuma, kojeg na Zemlji ima više tuge urana, posle rešavanja svih tehnoloških zadataka vezanih za rad ovakvog reaktora, očekuje se prevazilaženje jednog od osnovnih problema fisione nuklearne energetike - problema fisionog goriva. Međutim, problem bezbednosti rada reaktora i problem čuvanja radioaktivnih otpadnih materijala i dalje ostaje otvoren.

Svi ovi problemi su znatno manje izraženi u radu *fuzionih* reaktora. Kontrolirajući procesa fuzije podrazumevaju održavanje i stabilizaciju guste i visokotemperaturske plazme takih elemenata. Danas se u svetu uža veliki napori na razvoju različitih metoda za kontrolu procesa fuzije, od kojih najviše obećavaju metode stabilizacije u magnetnom polju (Tokomak reaktori) i inercionalno održavanje sa proizvodnjom plazme pomoću više intenzivnih laserskih snopova.

432. PROIZVODNJA RADIJOZOTOPA I NIHOVA PRIMENA

a. Proizvodnja radicizotopa

Radioaktivni izotopi se proizvode od prirodnih elemenata putem nuklearnih reakcija. Radioizotop je (kao proizvod) nastaju reakcijom prirodnih izotopa moguće termalnim neutronima proizvesti u fisionim reaktorima. Za proizvodnju izotopa koji nastaju interakcijom visokoenergetskih čestica (elektrona, protona i ostalih jona) upotrebljavaju se ubrzavati čestica ili akceleratori. Osnovni delovi akceleratora su izvor jona i snop za ubrzavanje. U izvoru jona se razlikuju metode: ionizacija materijala (zagrevanje, radiofrekvuenta pobudu) proizvodi veliki broj visokoenergetskih jona, koji se prenese u ubrzavati deo. Ubrzane električnih čestica se vrši pomoću električnih i magnetskih polja. U elektrostatičkim akceleratorima joni se ubrzavaju preletom velike razlike potencijala koji se uspostavlja između jonskog

izvora ī mete (u meti se nalaze jezgra izotopa na kojima se vrši reakcija). Tipičan predstavnik ovakvih mašina je akcelerator Van de Grafa, koji je opisan ranije. Joni su mogu ubrzavati na pravolinjskoj putanji i primenom najzimeničnog elektromagnetskog polja.

Kod cikločićnih akceleratora joni mnogo puta dobijaju relativno mala ubrzanja, što omogućuje da se u nemenim ubrzavajućim naponima dobiju čestice velike kinetičke energije. Najstariji predstavnik ovakvih akceleratora je *ciklotron* u kojem se čestice kreću u stacionarnom magnetnom polju indukcije B (sl. 43.3). U polju se nalaze dva šupljia metalna šuda oblike slova D (duant), između kojih se nalazi procep. Na ove sudove se dovodi naizmenični napon frekvencije v . Izvor jona se nalazi u blizini sredine procea i u procepu se joni kreću ubrzano pod dejstvom električnog polja. Iznutar D sudova na jone dejstvuje samo Lorentzova sila, koja ih primorava na kružno kretanje. Pri svakom obilasku polovina kružne putanje menja se polaritet duanta i tako se joni ubrzavaju pri svakom prolasku kroz procep i kreću se spiralnom putanjom sve većeg poluprečnika. Da bi se proces ubrzanja jona odžao, potrebno je da frekvencija naizmeničnog napona bude jednaka frekvenciji obilaska čestice na kružnoj putanji poluprečnika r :

$$\nu = \frac{1}{T} = \frac{v}{2\pi r} \quad (43.2)$$

gde je v brzina čestice.

Na osnovu zakona kretanja naelektrisane čestice u polju Lorentzove sile (20.34):

3

$$v = \frac{1}{T} = \frac{v_0}{2\pi r} \quad (43.2)$$

gle je v brzina cestice

Na osnovu zakona kretanja nanelektrisane čestice u polju Lorentzove sile (20.34):

$$\frac{\partial \bar{v}_B}{\partial r} = q v_B \quad (43.3)$$

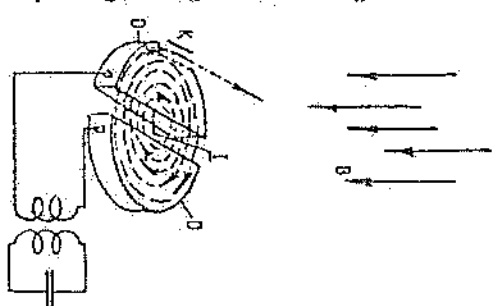
gde je q nadelektiranje čestice, može se brzina čestice izraziti u obliku:

$$v \approx \frac{r g B}{m} \quad (43.4)$$

Na osnovu relacije (43.4) uslov sinkronizacije ciklotrona (43.2) se može napisati u obliku:

$$v = \frac{qB}{2\pi m} \quad (43.5)$$

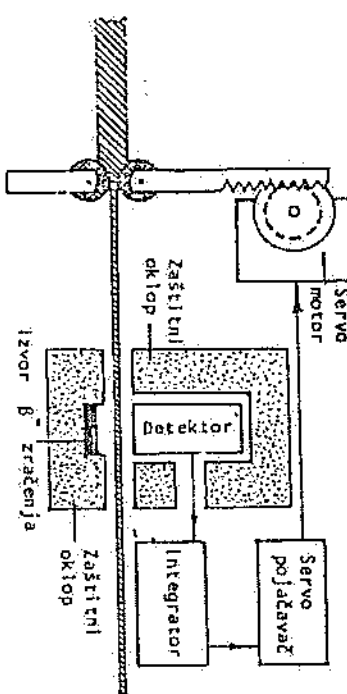
51. 43.



b. Primene radiobiotopa

Pomoću nuklearnih reaktora i akceleratora proizvodi se danas veliki broj radiobiotopa, koji se široko primenjuju u svim oblastima tehnike, tehnologije i medicine. Sve ove primene se mogu uglavnom podeliti u dve grupe: na upotrebu radioizotopa, kao izvora β i γ -zračenja i na njihovu primenu kao obelžavača (traserda) molekula u različitim procesima.

Radiokrivići izvori zračenja su daleko manji dimenzija i jediniji od ostalih izvora jonizujućih zračenja, kao što su, na primer, rendgen aparati. I veoma aktivni izvori imaju obično vrlo male dimenzije (staklasti izvori) i proizvode stop β ili γ -zračenja poznatog (stabilnog) intenziteta, što ih čini nezamenljivim u sledećim primenama:

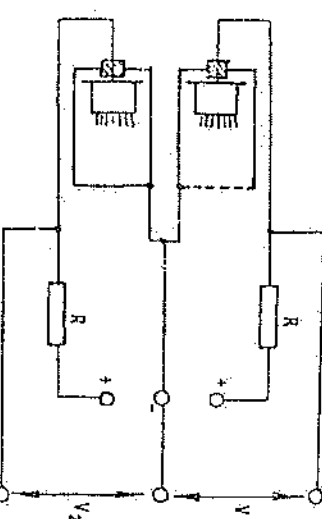


Sl. 43.4

Automatska kontrola deblijina. Tankе metalne ili plastičне folije se proizvode valjanjem (sl. 43.4).

„zracima i iza njih se stavlja film, koji je osjetljiv na ionizujuće zračenje. Na nepravilnostima (šupljine, nehomogenosti, porozni delovi) u metalu menja se apsorpcija γ -zračenja, što na filmu uzrokuje različita zatmjenja, čime se registruju defekti na materijalu.

Sl. 43.5



Sterilizacija i uništavanje malignih ćelija. Velike doze ionizujućeg zračenja potpuno uništavaju ćelije živih organizama. Pomoću intenzivnih izvora zračenja vrši se jednostavno sterilizacija hrane i medicinske opreme. Usmereni snopovi γ -zračenja (kobalt-bomba) efikasno se koriste za uništavanje malignih tumora u unutrašnjosti ljudskog организма.

Radiaktivno obelžavanje omogućuje precizno praćenje puta određenih jedinjenja, kako u tehnološkim procesima tako i u istraživanjima, funkcionišanja živih organizama. Ako se jedan atom u molekulama zameni radioaktivnim izotopom, pratećim emitovanog zračenja pri raspodu izotopa može se pratiti kretanje molekula. Na taj se način, sa izuzetnom tačnošću mogu izučavati uslovi fizičko-hemijskih ravnoteža, preseći difuze i različite hemijske reakcije, jer se radioaktivni molekuli mogu detektovati u veoma malim koncentracijama. Pomoću raznih tehniku obelžavanja pitate se i procesi metabolizma živih organizama. Na primer, prilikom istraživanja plijezna glukozom, obelženom sa ^{14}C , ustanovljeno je da u borbu protiv uzmajanja hrane životinje izduš radioaktivni $^{14}\text{CO}_2$, što pokazuje da je proces sasagerovanja željera u organizmu veoma brz. Funkcionisanje štitne zlezde kod čoveka standardno se ispituje kratkoživećim izotopom ^{13}I .

Interesantno je istaći da se tokom svog života bilike i životinje spontano obeležavaju dugoožičevim izotopom ^{14}C ($T_{1/2}=5680$ godina) koji se u Zemljinoj atmosferi stvara pod dejstvom kosmičkih neutrona, reakcijom $^{14}\text{N}(n,p)^{14}\text{C}$. U živim organizmima ravnoležna specifična aktivnost ovog izotopa iznosi oko 260 Bk po kilogramu tijeljenika, a posle njihove smrti ova aktivnost opada. Ova ženjatica omogućuje da se precizno odredi starost arheoloških uzoraka.

mori smanjuje, zbog čega se na otpornicima R javlja različite promene potencijala. Ova razlika, kao naponski signal uključuje odgovarajući alarm u centrali za dojavu požara.

Automatska dojava požara. Nastanak požara se može registrovati preko pojave dima u prostoriji. Shema jonizacionog detektoru dima prikazana je na sl. 43.5. Dve identične jonizacione komore sa ugradenim izvorima α -zračenja povezane su u bateriju. Jedna je komora u kontaktu sa vazduhom u prostoriji, a druga je hermetički zatvorena. U slučaju pojave dima jonizaciona struja se u otvorenoj komori smanjuje, zbog čega se na otpornicima R javlja različite promene potencijala. Ova razlika, kao naponski signal uključuje odgovarajući alarm u centrali za dojavu požara.